

PAPER DETAILS

TITLE: DAIMI YAPISТИРМА ISLEMINDE KULLANILAN DÖRT FARKLI SIMANIN
MIKROSIZINTISININ KARSILASTIRILMASI

AUTHORS: Funda BAYINDIR, Doçdrzeynep Yesil DUYMUS, Nuran YANIKOGLU

PAGES: 0-0

ORIGINAL PDF URL: <https://dergipark.org.tr/tr/download/article-file/27743>

DAİMİ YAPIŞTIRMA İŞLEMİNDE KULLANILAN DÖRT FARKLI SİMANIN MİKROSİZİNTİSİNİN KARŞILAŞTIRILMASI

Yrd.Doç.Dr.Funda BAYINDIR*

Doç.Dr.Zeynep YEŞİL DUYMUS *

Doç.Dr.Nuran YANIKOĞLU*

THE INVESTIGATION OF MICROLEAKAGE
OF FOUR DIFFERENT CEMENTS FOR USE IN
PERMANENT CEMENTATION

ÖZET

Bu çalışmada, daimi yapıştırma işlemi için kullanılan dört farklı simanın mikrosızıntıları değerlendirildi.

Yeni çekilmiş, çürüksüz 20 adet küçük ağız üzerinde tam kuron preparasyonları yapıldı. Dökümler, wirolloy metal alaşımından hazırlandı ve Adhesor, Durelon, Ceramchem ve Harvardid simanları ile yapıtıldı.

Kuronlanmış dişlere termosiklus uygulandı ve 24 saat % 2'lik metilen mavisi içinde bekletildi.

Dişler, tamamen otopolimerizan akrilik resin içine gömülüdү daha sonra mesio-distal ve vestibulo-lingual yönde kesildi. Skalaya göre mikrosızıntı, stereo mikroskop- ta değerlendirildi.

Istatistiksel değerlendirme Kruskal-Wallis varianc analizi kullanıldı.

Anahtar Kelimeler: Mikrosızıntı, Daimi simanlar, Kuron.

SUMMARY

In this study, microleakage of four different cements used for permanent cementation were evaluated.

Full crown preparation were made on twenty freshly extracted and non caries premolars. Casting were made in wirolloy alloy and were cemented with Adhesor, Durelon, Ceramchem and Harvardid cements.

The crowned teeth were thermacycled and were stored for 24 hours in % 2 metilen blue.

The teeth were completely embedded in to otopolimerizan acrylic. Then they were cut in mesio-distal and vestibulo-lingual direction.

Microleakage was ranked according to scale under stereo microscope. In statistically evaluation, Kruskal-Wallis variance analysis was used.

Key Words: Microleakage, Permanent cement, Crowns.

GİRİŞ

Diş hekimliğinde, en büyük problemlerden biri, restorasyonlarda oluşan sızıntıdır.⁴

Oral sıvılarının mikrosızıntısı; bakteri ve bakteri ürünlerinin pulpayı çevreleyen dentinden bir - yol bularak pulpayaya geçişine kolaylık sağlama- tadır. Sızıntıyı önlemek ve pulpayı mikrobiy yayılımdan korumak amacıyla bir takım astar ve lakkaların kullanılmasına rağmen bu materyallerde uzun süreli kullanımlarında etkisiz kalmaktadır. Restorasyonlarla dişler arasındaki defektler bak- terilerin oldukça kolay çoğalabildikleri besi yerle- ri olmaktadır. Restorasyonların uyum bozukluğu ve mikrobiy yayılım pulpanın hasar görmesiyle çok yakın ilişkide dir. Bu nedenle kenar uyumu klinik kullanımda belirleyici bir rol oynamak- tadır.^{2,3}

Günümüzde kuron ve köprü çalışmalarında yapıştırıcı ajan olarak bir çok materyal kul- lanılmaktadır. Bu materyallerin bir kısmı mikro mekanik olarak tutunmayı sağlanırken, bir diğer grubuda kimyasal olarak sağlamaktadır.²¹

Dişle restorasyon arasında oluşan mikro sızıntıının tesbit edilebilmesi amacıyla bugüne ka- dar invivo ve invitro yöntemler kullanılmıştır. Konu ile ilgili literatür incelemesinde radyoizo- top yöntemi, kuron köprü restorasyonlarının gösterdikleri mikrosızıntıının saptanmasında diğer yöntemlere göre belirgin sonuçlar vermesi yönünden fazla tercih edilmektedir.^{19,21,22,29,30}

Bu çalışma, kuron-köprü restorasyonlarının yapıtılmamasında kullanılan, çeşitli materyallerin diş-restorasyon arayüzünde ortaya çıkan mikrosızıntıyı engellemedeki etkinliğinin saptanması amacıyla yapılmıştır.

MATERIAL ve METOD

Periodontal veya ortodontik nedenle çekilmiş, 20 tane çürüksüz küçük ağız diş, çekim artıklarından temizlendikten sonra, çalışmada kullanılmak üzere 37°C de, distile su içerisinde bekletildi. Kökler polyetilenden elde edilen 20 mm çapındaki silindirik kahip ile akrilik rezine gömülderek numaralandırıldı. Dişler standarize

* Atatürk Üniv. Diş Hek. Fak. Protetik Diş Tedavisi Anabilim Dalı Öğretim Üyesi

edilmiş bir şekilde, hava-su soğutması altında elmas frezler yardımıyla dik açılı basamak hazırlanarak, tam kuron yapımı için prepare edildi. Sudan çıkarılan örnekler kurulandı ve Wash ölçü yöntemi uygulanarak elastomerik ölçü maddeleriyle (Optosil-Xantopren; Bayer Dental D-5090 Laverkusen) ölçüleri alındı. Geliştirilmiş sert alçı (Bego Bremen Gold Schlagerei Herbst GmbH Co. Emil Sommer Bremen) üretici firmmanın önerileri doğrultusunda karıştırıldı ve vibrasyonla alçı güdüklər elde edildi. Güdüklər, marginal kenara 1 mm. kalıncaya kadar 3 kat die spacer (Ivooclars Schaan, Lienchtenstein) ile kaplandı. Başlıklar, ince tabaka halinde inley döküm mumu (Ash Pinnacle, Amalgamed dental) kullanılarak alçı güdüklər üzerinde hazırlandı. Soy olmayan bir metal alaşımı (Wiroloy; Bego Germany) kullanılarak, yarı otomatik santrifüjlü döküm cihazında (Bego Fornex 35 M) döküm işlemi yapıldı.

Dökümlər revetmandan çıkarıldıktan sonra, tıpler karbon separe ile kesildi. Döküm yüzeyindeki oksit tabakası ve revetman artıkları kumlama cihazında (Minipol-Bego) giderildi. Separe, lastik disk, möl ve möleterler kullanılarak yapılan tesviye işleminden sonra, metal kuronların orijinal dişler üzerindeki uyumlari kontrol edildi.

Tablo I' de gösterilen simanlar $23^{\circ}\text{C} \pm 1^{\circ}\text{C}$ de oda ısısında imalatçı firmmanın önerilerine uygun olarak hazırlandı, kuronlara koyularak dişler üzerine uygulandı ve dikey yönde 10 kg'luk basınç 10 dakika tətbiq edildi. Yapıtırıcı madde artıkları bir sond yardımıyla temizlendi.

Tablo I. Çalışmada kullanılan yapıştırma maddeleri.

Yapıtırıcı siman	Marka	Üretici Firma
Çinko fosfat Polikarboksilat	Adhesor Durelon	Sjofia-Dental-Praha Espe D-82229 Seefeld Madein Germany
Cam ionomer	Ceramchem	Dental Co. Ltd. Belvedere, Kent U. K. England
Silico fosfat	Harvardid	Richter Hoffmann Harvard Dental Gesellschaft

$37^{\circ}\text{C} \pm 1^{\circ}\text{C}$ de distile suda iki hafta bekletilen örnekler, 5°C ve 50°C ' de 250 defa, 20 saniyelik bir programla³² termal siklus tabi tutularak, ağız ortamındaki ısı değişimlerine benzerlik

sağlandı. Termosiklus sonrası, örnekler tekrar $23^{\circ}\text{C} \pm 1^{\circ}\text{C}$ oda ısısında distile suya koyuldu. Sudan çıkartılan örnekler kurutulduktan sonra, kuron kenarlarından 1 mm. uzaklıktan itibarEn boyasızıntısının olmasını istemediğimiz kısımlara 3 kat tırnak citası uygulandı. Örnekler, cilaın kurumasını takiben petri kutularında % 2' lik metilen mavisi içinde 24 saat bekletildi. Bu sürenin sonunda boyasızıntı içersinden çıkartılan örnekler, otopolimerizan şeffaf akrilik içersine ayrı ayrı gömüldü. Test örnekleri dikey eksenleri boyunca, mezio-distal ve vestibulo-lingual yönde karbon separe ile hava su soğutması altında dört parçaya ayrıldı.

Mikrosızıntı değerleri, Tjan ve arkadaşları^{29,31} tarafından kabul edilen skalaya göre tek kişi tarafından kaydedildi:

- 0: Sızıntı yok,
- 1: Aksial duvarın 1/3 ü sizıntılı,
- 2: Aksial duvarın 2/3 ü sizıntılı,
- 3: Aksial duvarın tüm uzunluğu boyunca sizıntı,

4: Okluzal yüzey üzerinde sizıntı.

Biometrik değerlendirme için Kruskal-Wallis varyans analiz yöntemi kullanıldı.

BULGULAR

Biometrik değerlendirme için kullanılan Kruskal-Wallis varyans analiz sonuçları Tablo II' de gösterilmiştir.

Tablodan görüldüğü üzere; Durelon simanının diğerlerinden farklı olduğu istatistiksel olarak test edilmiştir ($p < 0.005$).

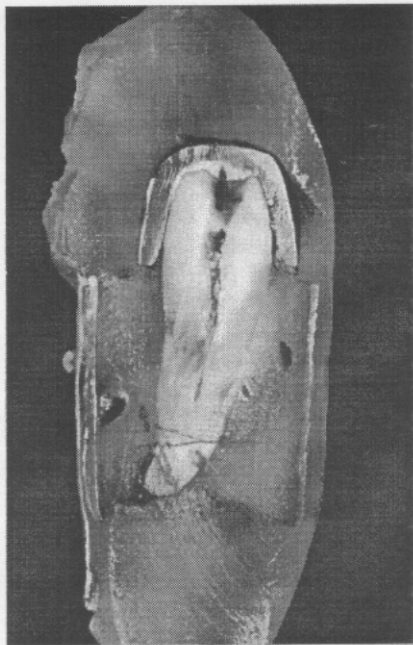
Bütün deney örnekleri test sonunda değişik derecelerde mikrosızıntı göstermesine karşın, en az mikrosızıntıyi ceremchem ve Adhesor simanının, en fazla mikro sizıntı ise Durelon simanının gösterdiği saptanmıştır (Tablo II).

Resim 1' de sizıntı derecesi test edilen test örneği görülmektedir.

Tablo II. Kruskal-Wallis varyans analiz sonuçlarını gösteren tablo.

Yapıtırıcı simanlar	N	Med.	Z Değeri
Harvardid	5	0.00E+00	-1.79
Durelon	5	2.00E+00	2.40
Ceramchem	5	1.00E+00	-0.31
Adhesor	5	1.00E+00	-0.31

H= 8.92 d.f= 3 p= 0.031



Resim 1. Mikro sizıntı tesbit edilen örnek.

TARTIŞMA

Çalışmamız invitro şartlarda yapılmıştır. Bu konuda yapılan invivo çalışmalar da rastlanılmıştır.

Mc Curd ve arkadaşları,¹⁷ hayvan dişleri üzerinde yaptıkları kenar sizintisi araştırmalarında invivo ve invitro değerlendirmelerde benzer sonuçlar elde etmelerine karşın, ağız ortamında görülen daha fazla ısı değişikliği nedeniyle yüksek oranda kenar sizintisi görülebilceğini ifade etmişlerdir.

Crim ise,^{7,8} invitro kenar sizintisi çalışmalarında invivo koşullara benzer ortam sağlanabileceğini ileri sürmüştür.

White ve arkadaşları,³³ döküm kuronlarda kullanılan yapıştırıcı simanlarda oluşan sizintiyi invivo ve invitro olarak değerlendirmiştir. Çinko fosfat simanıyla yapıştırılan kuronlarda diğer simanlarla yapıştırılanlardan belirgin şekilde daha fazla sizinti görüldüğünü tesbit etmişlerdir. Komposit rezin ve cam ionomer hibrit yapıştırma ajanlarının ise dentinal bonding kullanılsın veya kullanılmasın invivo sizintiyi belirgin şekilde azalttığını ifade etmişlerdir.

White ve arkadaşları,³⁴ çalışmalarında gelenekse ve yeni sabit protez yapıştırma ajanlarının sizintilerini invitro olarak incelemiştir, çinko fosfat simanın yeni üretilen yapıştırma ajanlarına

göre daha fazla mikro sizıntı gösterdiğini, mikrosizintinin belirgin bir şekilde diş/ sement arası yüzünde lokalize olduğunu saptamışlardır.

Chan ve Swift,⁶ adesiv sistemlerin uygulanması ile (All Bond 2, Gluma 200 ve Scotchbond Multi Purpose) restorasyon marjinlerinde önemli derecede mikrosizintinin azaldığını tesbit etmişlerdir.

Ballard ve arkadaşları,¹ sizıntı ile termal genleşme katsayısı arasında sıkı bir ilişkinin olduğunu ifade etmişler ve değişik termal genleşme katsayılarına sahip altı restoratif materyali bazık fuksinle termosiklus yapıp relativ sizintiyi karşılaştırmışlardır. Düşük termal genleşmeye sahip dental materyallerin (Örn: Cam ionomer) sizintiyi kontrol edebileceği sonucuna varmışlardır.

Tjan ve Chiu,²⁹ değişik pin materyalleri ile restore ettikleri dişler üzerinde hazırladıkları altın döküm kuronları, 3 farklı simanla yapıştırmış ve sizinti miktarlarını incelemiştir. Sizintida, siman tipinin, cor materyalinden daha önemli olduğunu saptamışlardır.

Bazı araştırmacılar, cam ionomer simanın termal genleşme katsayısının doğal dişe benzediğini ve bu durumun kenar sizintisinin azalmasına yol açtığını belirtmişlerdir.^{15,20}

Graver ve arkadaşları,¹¹ cam ionomer simanları yapıştırmada kullandıklarında diş siman aralığı boyunca boyaya penetrasyonu olmadığını belirtmişlerdir.

Reisbeck,²⁶ cam ionomer simanla yapıştırdığı kuronların 6 aylık gözlemlerinin başarılı olduğunu ifade etmiştir.

Kocabalkan ve Dönmez,¹³ yapmış oldukları çalışma sonucunda en az mikrosizintinin F-21 resin simanda olduğunu bunu cam ionomer simanın takip ettiğini saptamışlardır.

Araştırmacılar, simante edilmiş restorasyonların altındaki sıvı akışını ölçükleri çalışmalarında, en fazla sıvı akışının çinko fosfat simanda olduğunu görmüşler ve sizintiya en çok izin verebilecek siman olduğunu belirtmişlerdir. Bu durumu, çinko fosfat simanın diş dokusuna mekanik ve kimyasal olarak bağlanması ve sulu solüsyonlarda çözünebilmesine bağlamışlardır.^{21,22}

Mitchem ve Gronas,¹⁸ en az çözünen simanın cam ionomer siman olduğunu, Cannon,⁵ ise bunun aksini bildirmiştir.

White ve arkadaşları,³⁴ ayrıca Tjan ve arkadaşları,³⁰ çinko fosfat ve polikarboksilat siman arasında en fazla sizintinin polikarboksilat grubunda olduğunu tesbit etmişlerdir.

Bu çalışmada en az mikrosizintinin cam ionomer siman ve çinko fosfat simanda olduğunu bunları siliko fosfat grubunun takip ettiğini, en

fazla mikro sızıntıının ise polikarboksilat grubunda olduğunu tespit etti. Bu sonuç yukarıdaki araştırmacıların görüşleri ile aynı doğrultuda olup aşağıdaki araştırmacıların görüşleri ile uyum göstermemektedir.

Crim ve Shay,⁹ cam ionomer simanın, diş penetrasyon aralığında boyalı penetrasyonunu önlemede etkisiz olduğunu belirtmişlerdir.

Mikrosızıntıının en fazla diş siman aralığında olduğu bildirilmektedir.²⁷

Bizim çalışmamızda da, çinko fosfat grubunda sızıntıının, en fazla diş-siman aralığında olduğu gözlenmiştir.

Bir çok yapıtırıcı sisteme mikrosızıntı, diş siman arayüzünde gelişirken, polikarboksilat simanlarda bu olay metal-siman arayüzünde, diş siman arayüzünde veya siman tabakasının içerisinde gelişebilmektedir.^{12,24}

Çalışmamızda elde ettigimiz, polikarboksilat simana ait yüksek mikro sızıntı değerleri bu bilgilerin işgi altında açıklanabilir.

Araştırmalar, üç simanın (çinko fosfat, polikarboksilat, cam ionomer) kısa süreli 1,3,6 aylık sızıntıları arasında çok az farklılık olduğunu ifade etmişlerdir.¹⁶

Mondelli ve arkadaşları,¹⁹ çinko fosfat ile simantasyondan sonra 1 saatlik ve 21 günlük test periodları arasında sızıntı açısından farklılık gözleyememişlerdir. Bu nedenle, bizde çalışmamızda uzun süreli gözlemlenmemeyi uygun görmedik.

Oral sıvıların kapiller akışından meydana gelen kenar sızıntısı, pulpayla bakteri ve onların ürünlerinin kolayca difüzyonuna yol açar.³ Restorasyonların zayıf adaptasyonlarının ve buna bağlı mikrobiyal girişin, pulpal hasarla birlikte olduğu çalışmalarda ortaya konulmuştur.^{3,10} Bu nedenle kenar bütünlüğü klinik olarak önemlidir.

White ve arkadaşları,³⁵ marjinal açıklık ile sızıntı arasında ilişki olup olmadığını araştırmışlar, marjinal açıklık ile marjinal sızıntı arasında önemli bir ilişki bulamamışlardır. Marjinal açıklık, marjinal sızıntıda direkt olarak rol oynamamıştır. Sonuçta, dental restorasyon, yapıştırma ajansı ve diş yapısı arasındaki kompleks etkileşimin sızıntıyı etkilediğini ifade etmişlerdir.

Tjan ve arkadaşları,²⁹ metal kuronların kenarlarında, mikrosızıntıının oluşmasında, termal siklusun önemli olduğunu belirtmişlerdir.

Kwamura ve arkadaşlarıda,¹⁴ üç simanla yaptıkları çalışmada aynı etkileri rapor etmişlerdir.

Crim ve arkadaşları,⁸ termal şokun kenar sızıntısına etkisinin çabuk gelişğini ve siklus sayısı ile sürenin sızıntıyı etkilemediğini vurgulamışlardır.

Sızıntı çalışmalarında kullanılan yöntemler arasında, özellikle kuronlar için radyoizotop yöntemi tercih edilmektedir.^{19,30} Ancak pahalı oluşu başta olmak üzere, bazı dezavantajları nedeniyle bu yöntem uygulanamamıştır.

Mikrosızıntı saptama çalışmalarında kullanılan farklı test yöntemleri farklı sonuçlar ortaya koymaktadır. Buda kliniğe yönelik belirsizliği pekiştirmektedir.^{1,10}

Cam ionomer simanlarla elde edilen yüksek tutuculuk ve oldukça düşük derecedeki mikrosızıntı değerleri, bu simanların diş yapısında bulunan kalsiyum kristallerine iyonik olarak bağlanması ve suda çözünürlüğünün az olması ile ilgilidir. Fakat bu simanların kullanımında post-operatif problemler ve pulpa reaksiyonlarını ilgilendiren bazı belirsizlikler vardır.²³ Cam ionomer simanlar aşırı konik kesimlerde, kısa klinik kuronlu dişlerde çinko fosfat simanlara bir alternatif oluştururlar. Polikarboksilat simanlar, pulpa reaksiyonlarının olusabileceği düşünülen durumlarda ve çiğneme basıncının sınırlı olduğu yerlerde kullanılabilir.²⁵

Smith'in²⁸ ifade ettiği gibi "Henüz ideal özelliklere sahip dental siman yoktur." Her bir materyal özelliklerinin bilgisi ile klinik ihtiyaçlar doğrultusunda kullanılmalıdır.

KAYNAKLAR

1. Ballard RH, Leinfelder KF, Russel CM. Effect of thermal expansion on microleakage. *J Am Dent Assoc* 1988; 116: 871-7.
2. Bergenholz G, Cox CF, Loesche WJ, Syed SA. Bacterial leakage around dental restorations: Its effect on the pulp. *J Oral Pathol* 1982; 11: 439-50.
3. Branström M. Communications between the oral cavity and the dental pulp associated with restorative treatment. *Oper Dent* 1984; 9: 57-68.
4. Buonocore MG, Sheykholeslam Z, Glenna R. Evaluation of an enamel adhesive to prevent marginal leakage: An in vitro study. *J Dent Child* 1973; 40: 119-24.
5. Cannon RWS. Dental standards and selection of dental materials. *Quint Int* 1981; 12: 61-9.
6. Chan KC, Swift EJ. Marginal seal of new generation dental bonding agents. *J Prosthet Dent* 1994; 72: 420-3.
7. Crim GA, Mattingly JL. Evaluation of two methods for assessing marginal leakage. *J Prosthet Dent* 1981; 45: 160-3.
8. Crim GA, Garcia-Godoy F. Microleakage: The effect of storage and cycling duration. *J Prosthet Dent* 1987; 57: 574-6.

9. Crim GA, Shay JS. Microleakage pattern of a resin-veneered cavity liner. *J Prosthet Dent* 1987; 58: 273-6.
10. Felton DA, Boyne MS, Konay BE, Zopatero DA. Crown for clinically investigatory microleakage. *J Prosthet Dent* 1991; 66: 34-8.
11. Graver H, Trowbridge HH, Alperstein K. Microleakage of casting cemented with glass ionomer cements. *Oper Dent* 1990; 15: 2-9.
12. Krabbendam CA, Ten Harkel HC, Duijsters PPH, Davidson CL. Shear bond strength determination on various kinds of luting cements with tooth structure and cast alloys, using a new testing device. *J Dent* 1987; 15: 77-81.
13. Kocabalkan E, Dönmez F. Kuron yapıştırılmasında kullanılan materyallerin mikrosızıntısının *in vitro* olarak saptanması. *Atatürk Üniv Dış Hek Fak Derg* 1994; 4: 39-43.
14. Kwamura RM, Swartz ML, Phillips RW, Davis WH. Marginal seal of cast full crown an *in vitro* study. *Gen Dent* 1983; 31: 282-4.
15. Maldonado A, Swartz M, Phillips RW. An *in vitro* study of certain properties of a glass ionomer cement. *JADA* 1978; 96: 785-91.
16. Mash LK, Beninger CK, Bullard JT, Staffanous RS. Leakage of various types of luting agent. *J Prosthet Dent* 1981; 66: 763-6.
17. Mc Curd CH, Swartz ML, Phillips RW. A comparison of *in vivo* and *in vitro* microleakage of dental restorations. *JADA* 1974; 88: 592-602.
18. Mitchem JC, Gronas DG. Clinical evaluation of cement solubility. *J Prosthet Dent* 1978; 40: 453-6.
19. Mondelli J, Ishikirama A, Junior JG. Marginal microleakage in cemented complete crowns. *J Prosthet Dent* 1978; 40: 632-6.
20. Mount GJ. Longevity of glass-ionomer cements. *J Prosthet Dent* 1986; 55: 682-5.
21. Norman RD. Properties of cements mixed from liquids with altered water content. *J Prosthet Dent* 1970; 24: 410-8.
22. Omura I, Yamauchi J, Harada I, Wada T. Adhesive and mechanical properties of a new dental adhesive. *J Dent Res* 1984; 63: 223.
23. Pameijer CH, Stanley HR. Primate pulp response to anhydrous chembond. *J Dent Res* 1984; 63 (Special Issue 171): 1.
24. Pegonara LF, Barrack GA. Comparison of bond strength of adhesive cast restorations using different desing, bonding agents and luting cements. *J Prosthet Dent* 1987; 57: 133-8.
25. Qilo G. Luting cements. A review and comparison. *Int Dent J* 1991; 41: 81-8.
26. Reisbeck MH. Working qualities of glass ionomer cements. *J Prosthet Dent* 1981; 46: 525.
27. Shorthall AC, Fayyad MA, William JD. Marginal seal of injection molded crowns cemented with three adhesive systems. *J Prosthetic Dent* 1989; 61: 24-7.
28. Smith DC. Dental Cements. Current status and future prospects. *Dent Clin Nort Am* 1983; 27: 763-87.
29. Tjan AHL, Chiu J. Microleakage of core materials for complete cast gold crowns. *J Prosthet Dent* 1989; 61: 659-64.
30. Tjan AHL, Miller GD, Whang SB, Sarkissian R. The effect of thermal stress on the marginal seal of cast gold full crowns. *J Am Dent Assoc* 1980; 100: 48-51.
31. Tjan AHL, Dunn JR, Grant BE. Marginal leakage of cast gold crowns luted with and adhesive resin cement. *J Prosthet Dent* 1992; 67: 11-4.
32. Wendt SL, McInnes IM, Dickinson GL. The effect of thermocycling in microleakage analysis. *Dent Mater* 1992; 181-4.
33. White SN, Sorenson JA, Kong SK, Caputo AA. Microleakage of new crown and fixed partial denture luting agents. *J Prosthet Dent* 1992; 67: 156-61.
34. White SN, Sorenson JA, Kong SK, Caputo AA. Microleakage of new crown and fixed partial denture luting agents. *J Prosthet Dent* 1992; 67: 156-61.
35. White SN, Ingles S, Kipris V. Influence of marginal open in gonmicrolleakage of cemented artificial crowns. *J Prosthet Dent* 1994; 71: 257-64.